７－７　GPS 連続観測から求めた近畿地方水平地殻変動速度
Velocities of Horizontal Curustal Deformations of Kinki district

国　土　地　理　院
Geographical Survey Institute

第１図～第２図は，GPS 連続観測から求めた近畿地方の水平地殻変動速度である。阪神地方から琵琶湖を経て北東に伸びる線上に東西性の圧縮の軸があることが分かる。 第３図は，神戸から京都を経て琵琶湖西岸に至る地域の GPS 連続観測結果である。基線長及び比高のいずれも最近傾向が大きく変化したものはない。 第４図は，京都亀岡を固定した近畿地方の GPS 観測結果による水平変動ベクトル図である。ベクトルの分布は広域的な東西性の圧縮場の存在を示している。

使用したデータ：ＧＰＳ観測点の水平変位速度（1997年5月31日～1998年7月1日）
Shen et al.(1996)の方法（距離減衰定数を25kmとした場合）を用いて解析した結果
活断層，浅発地震（深さ＜20km，1997年1月～12月）の震源を合わせて示す．

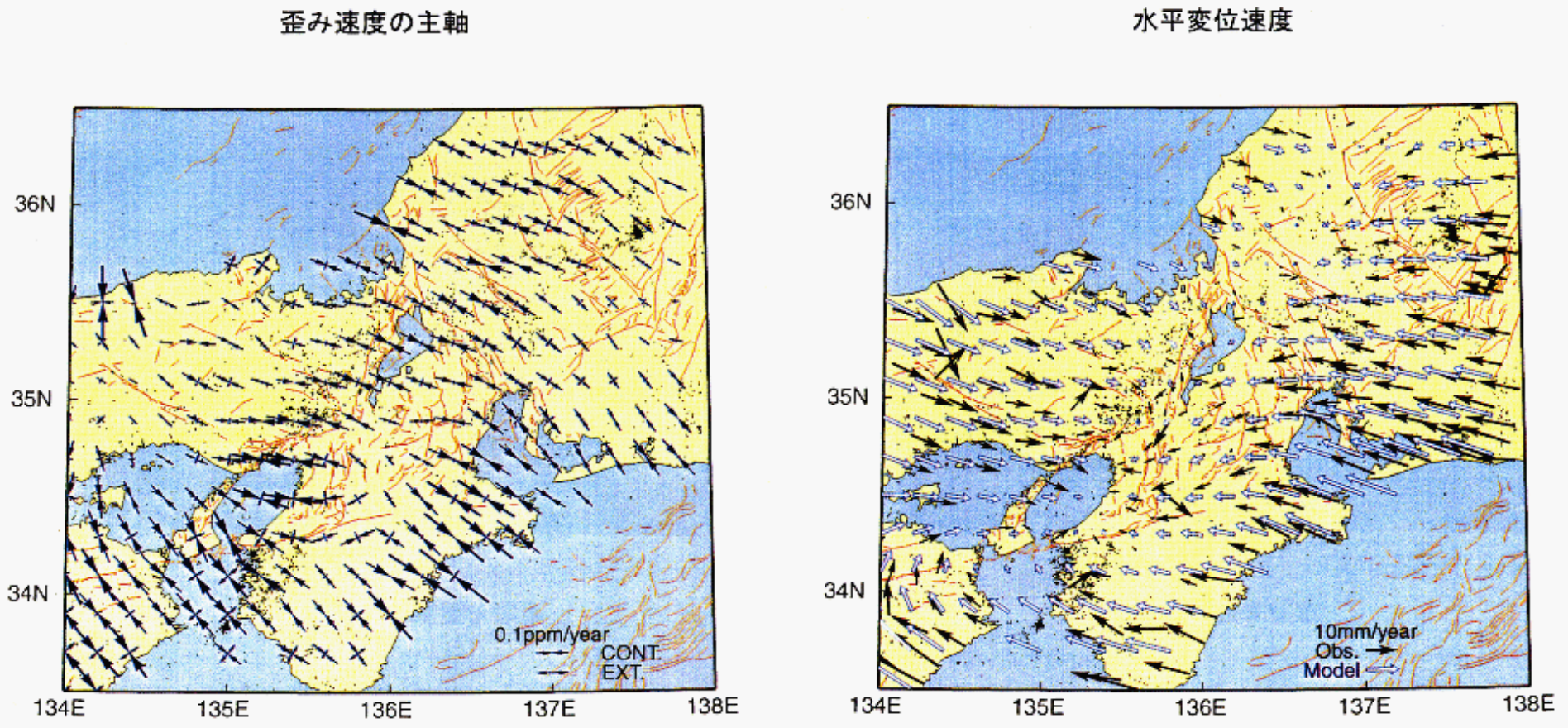

第１図　GPS 連続観測から求めた近畿地方の水平地殻変動速度(歪み速度主軸）

Fig.1　Strain accumulation derived from GPS measurements in the Kinki district (principal axis distribution and horizontal deformation velocity).

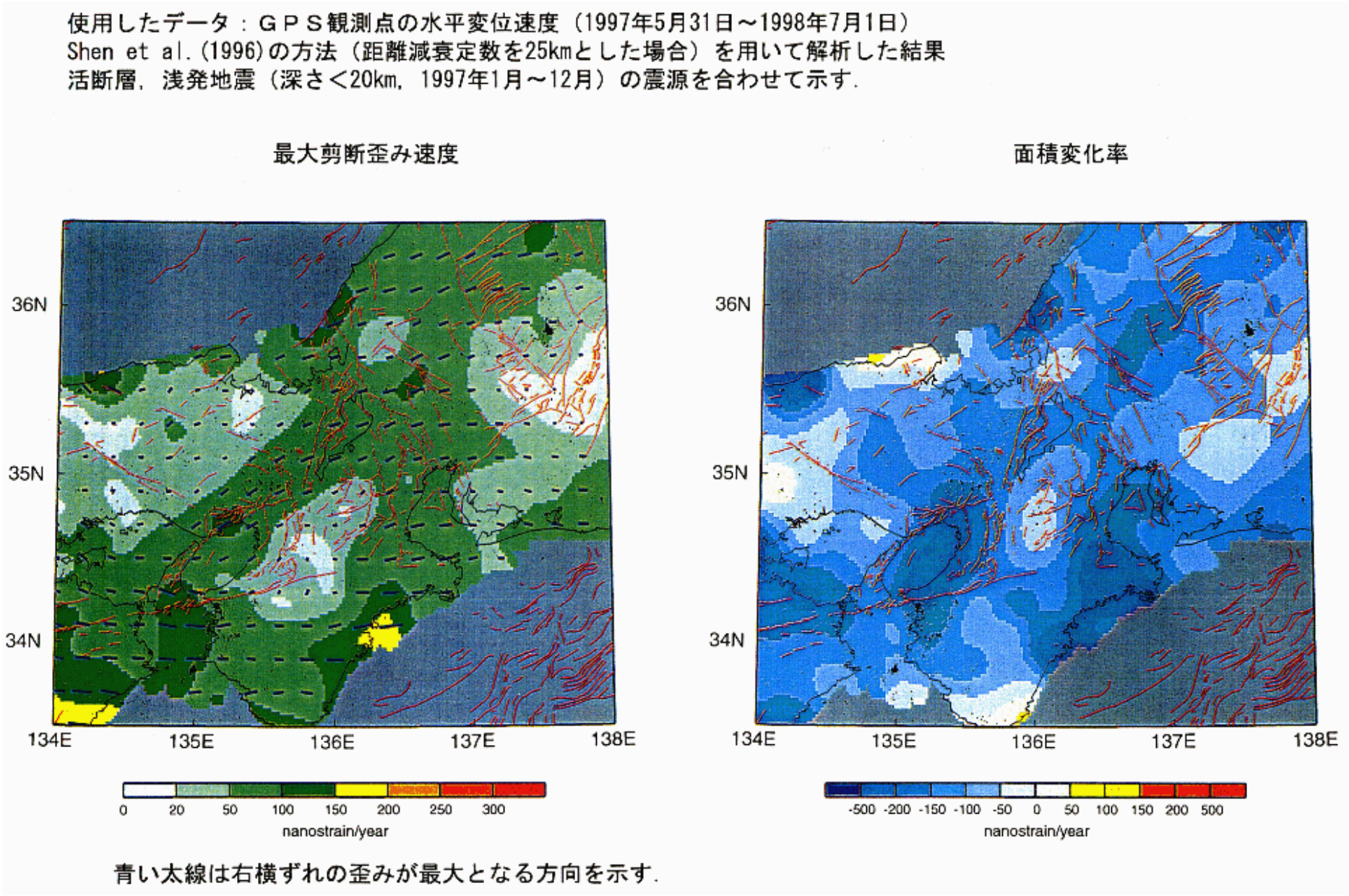

第２図　GPS 連続観測から求めた近畿地方の水平地殻変動速度（最大せん断歪みおよび面積変化率）

Fig.2　Strain accumulation derived from GPS measurements in the Kinki district (max shear and dilatation).

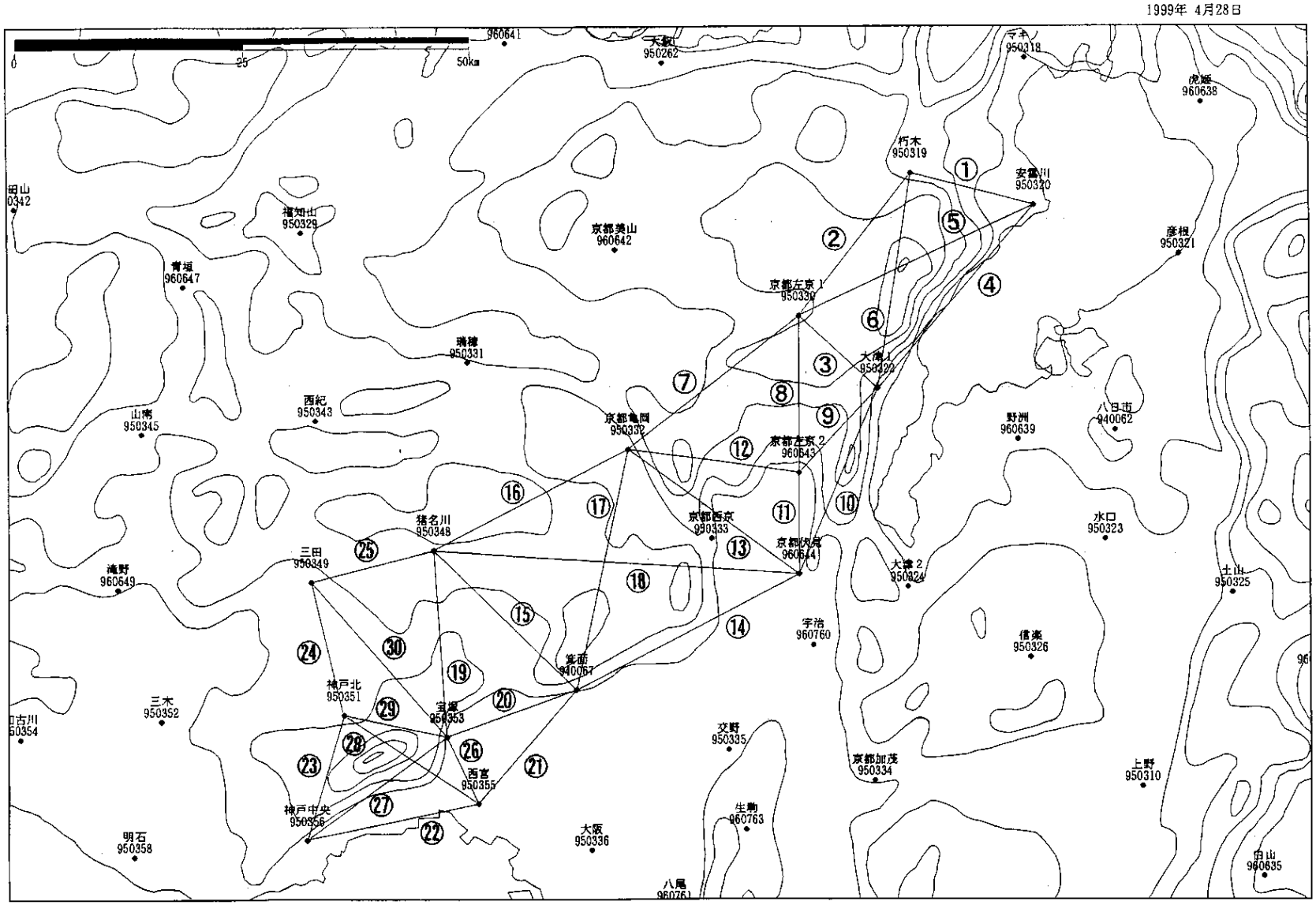

第 3 図(1)　近畿地方 GPS 連続観測結果(1)。

Fig.3(1)　Results of GPS measurements in the Kinki district (1).

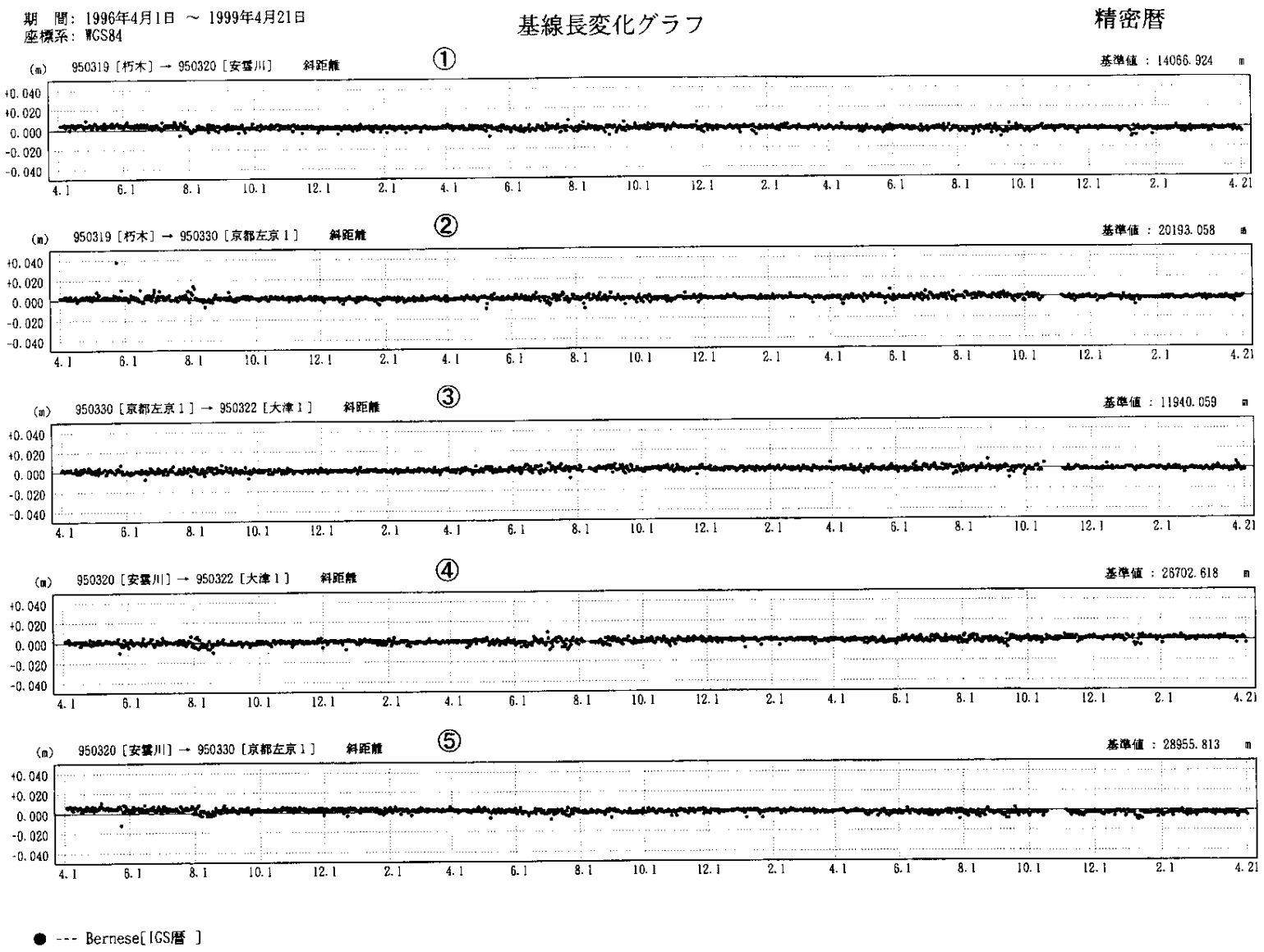

第 3 図(2)　近畿地方 GPS 連続観測結果(2)。

Fig.3(2)　Results of GPS measurements in the Kinki district (2).

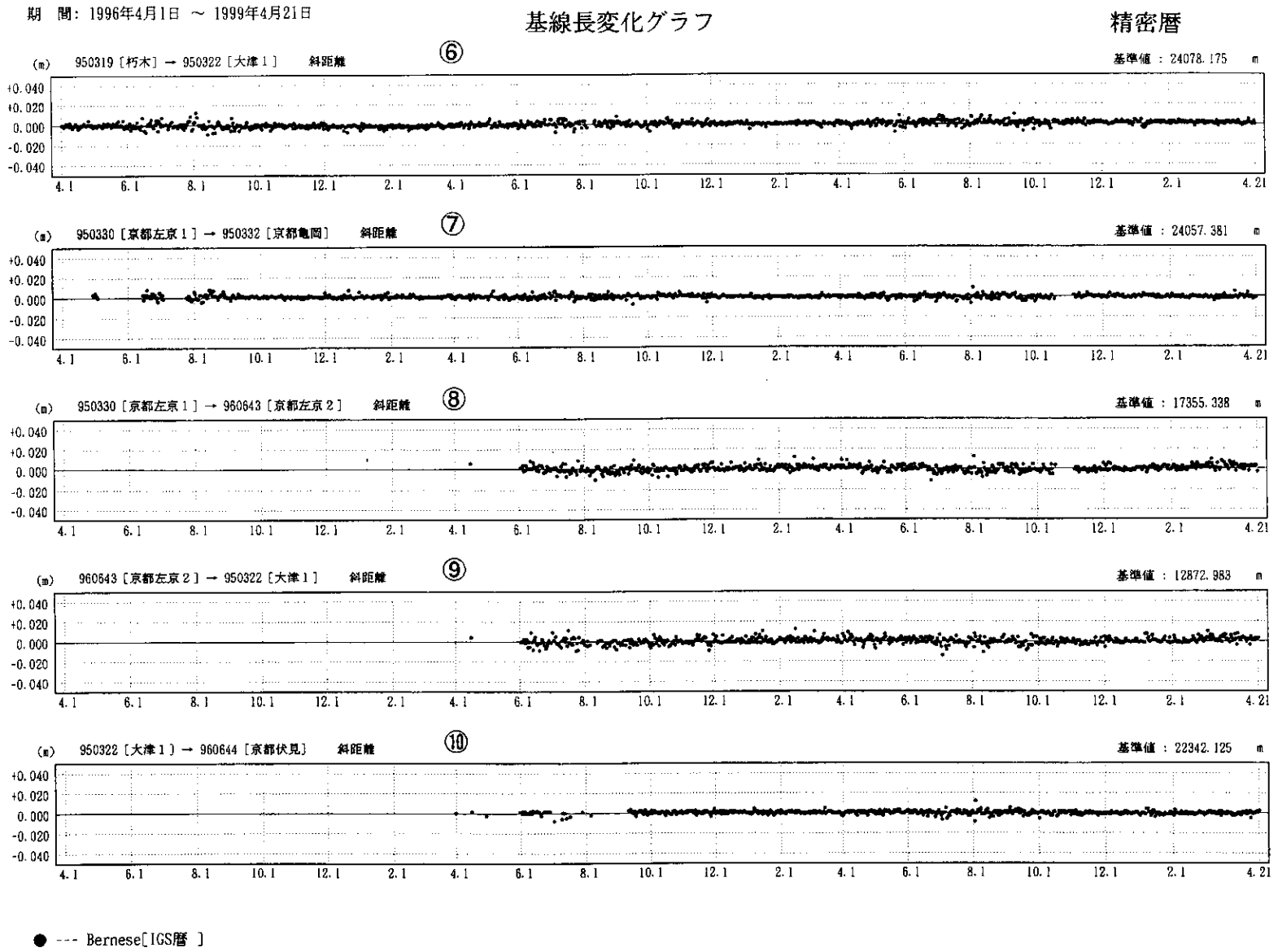

第３図(3)　近畿地方 GPS 連続観測結果(3)。

Fig.3(3)　Results of GPS measurements in the Kinki district (3).

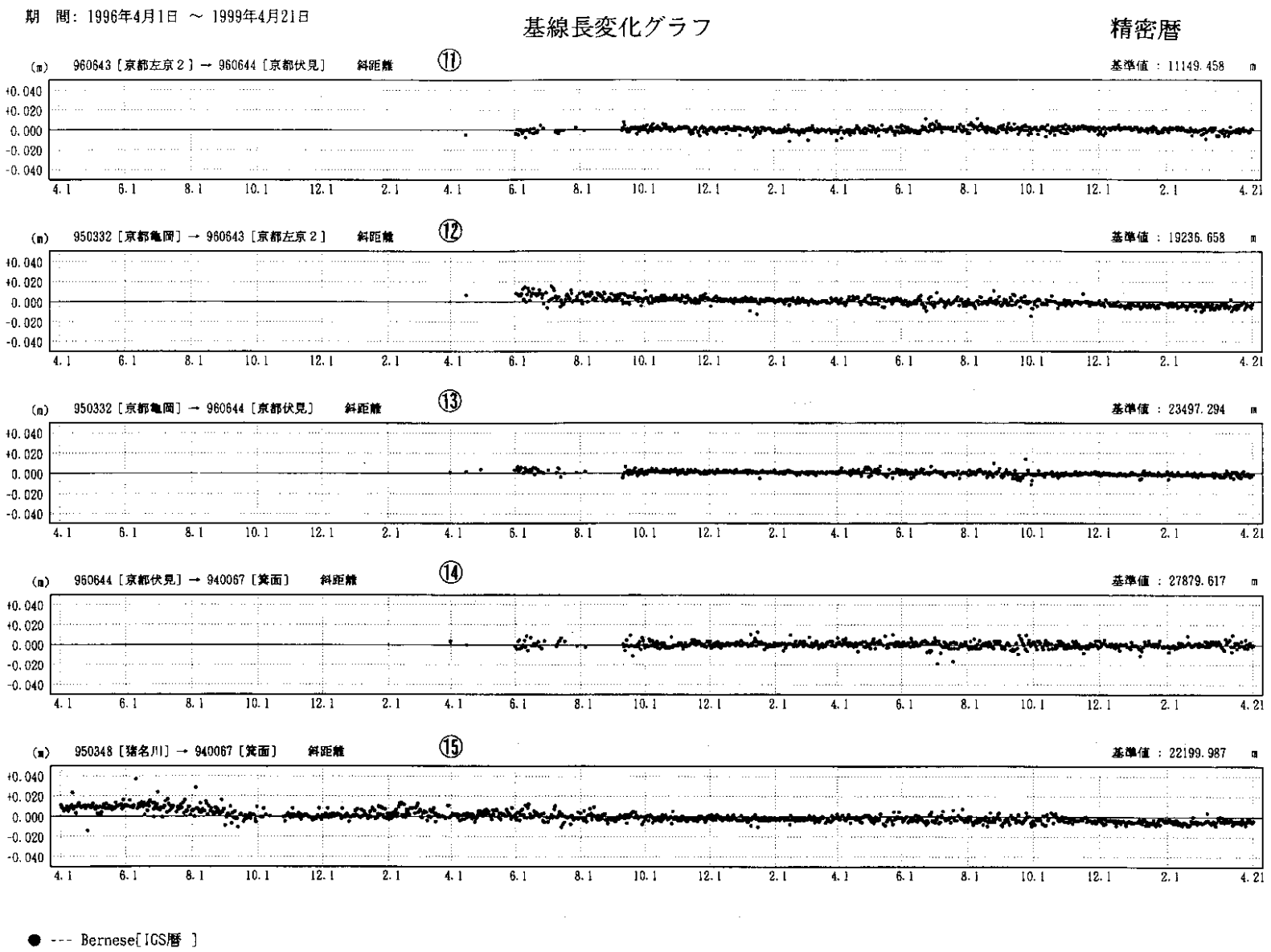

第３図(4)　近畿地方 GPS 連続観測結果(4)。

Fig.3(4)　Results of GPS measurements in the Kinki district (4).

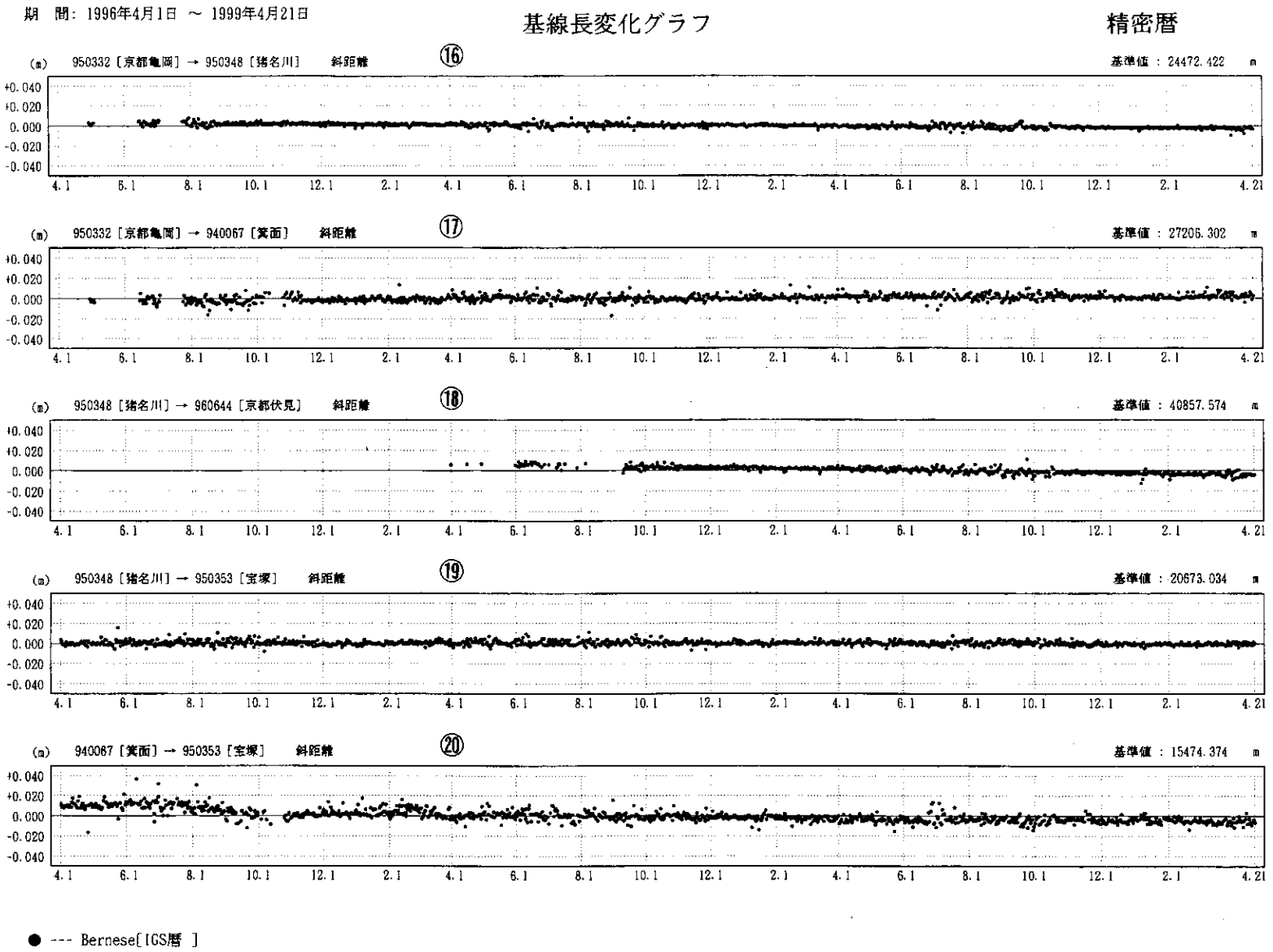

第 3 図(5)　近畿地方 GPS 連続観測結果(5)。

Fig.3(5)　Results of GPS measurements in the Kinki district (5).

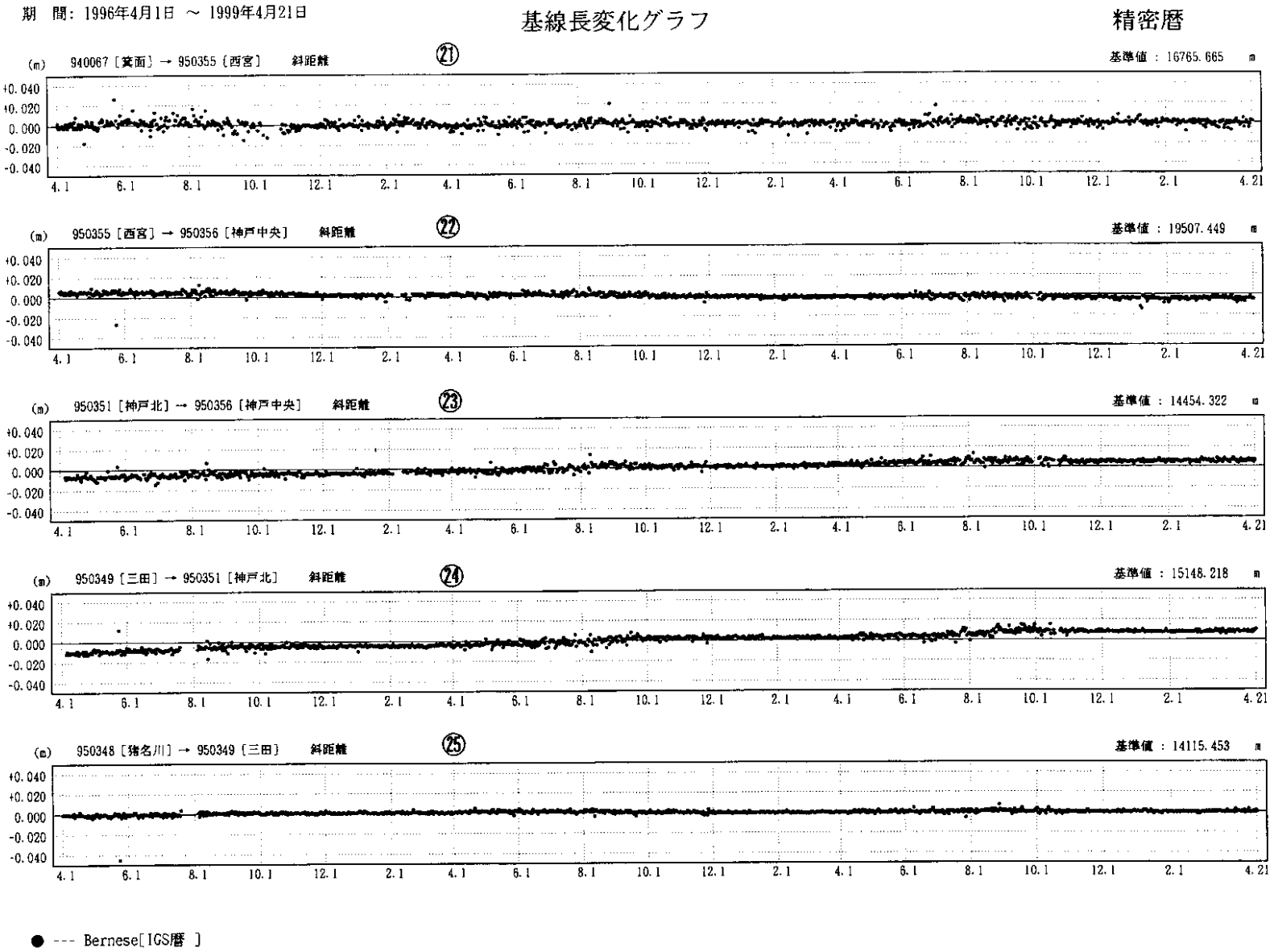

第 3 図(6)　近畿地方 GPS 連続観測結果(6)。

Fig.3(6)　Results of GPS measurements in the Kinki district (6).

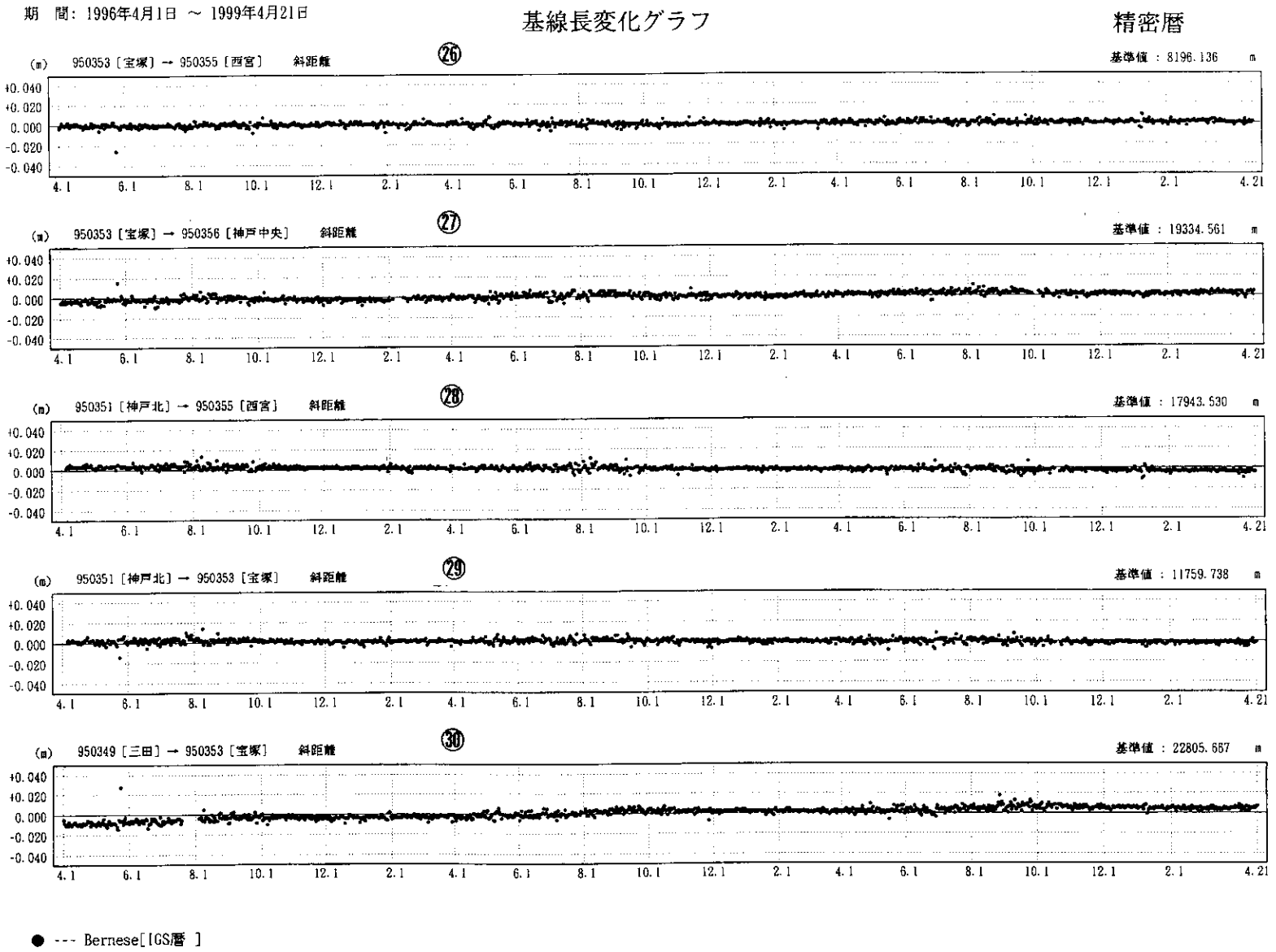

第 3 図(7)　近畿地方 GPS 連続観測結果(7)。

Fig.3(7)　Results of GPS measurements in the Kinki district (7).

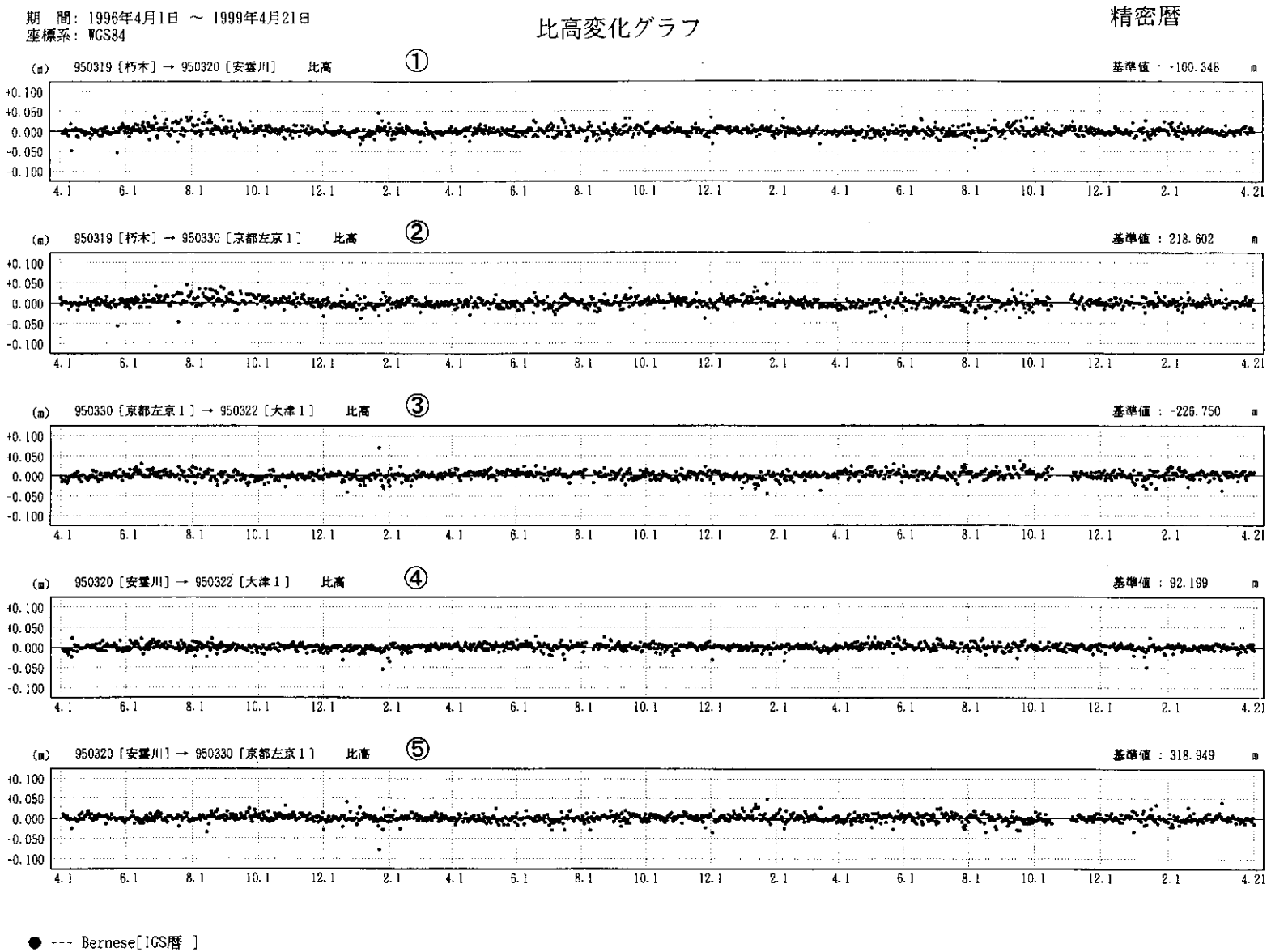

第３図(8)　近畿地方 GPS 連続観測結果(8)。

Fig.3(8)　Results of GPS measurements in the Kinki district (8).

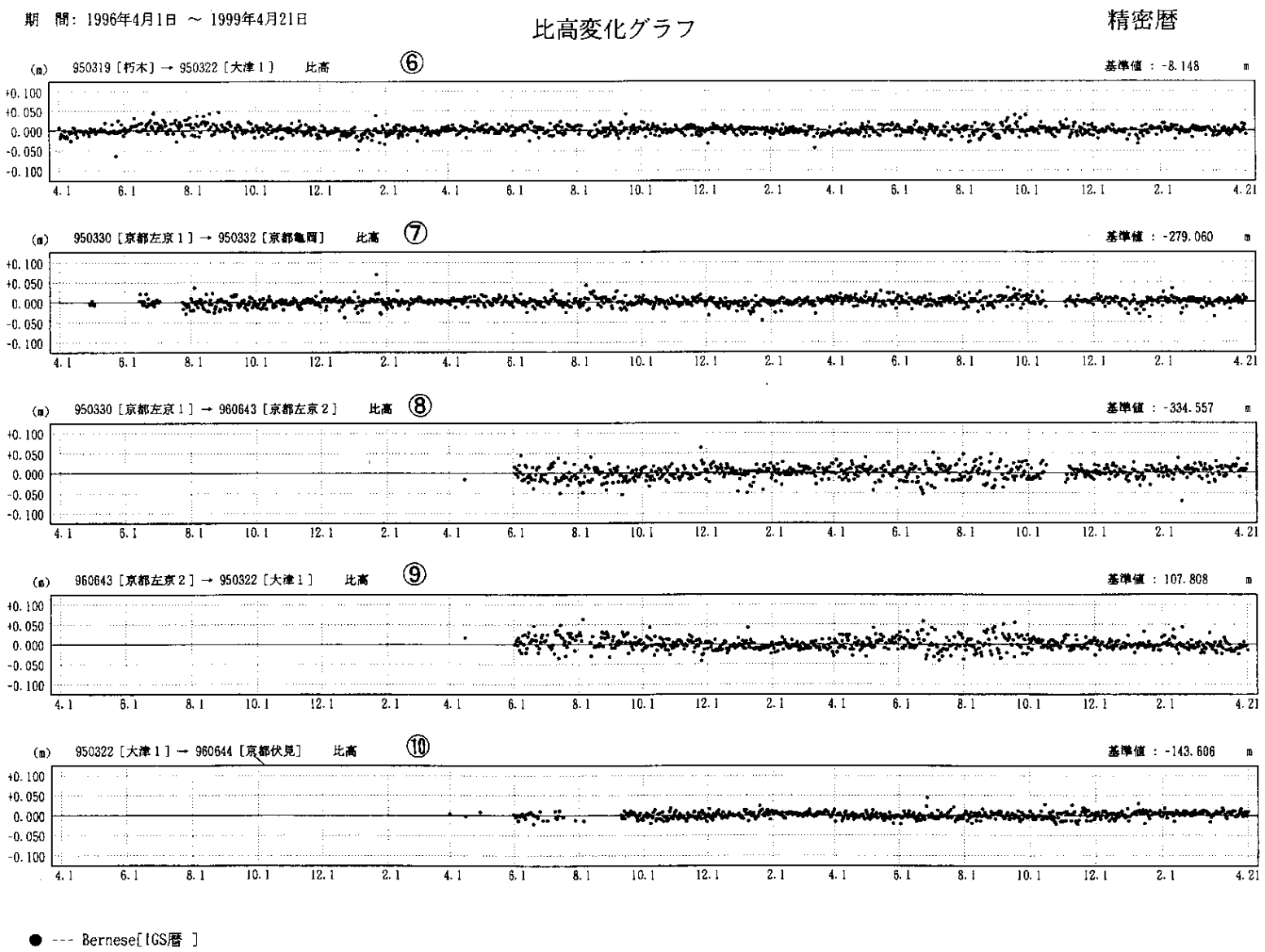

第３図(9)　近畿地方 GPS 連続観測結果(9)。

Fig.3(9)　Results of GPS measurements in the Kinki district (9).

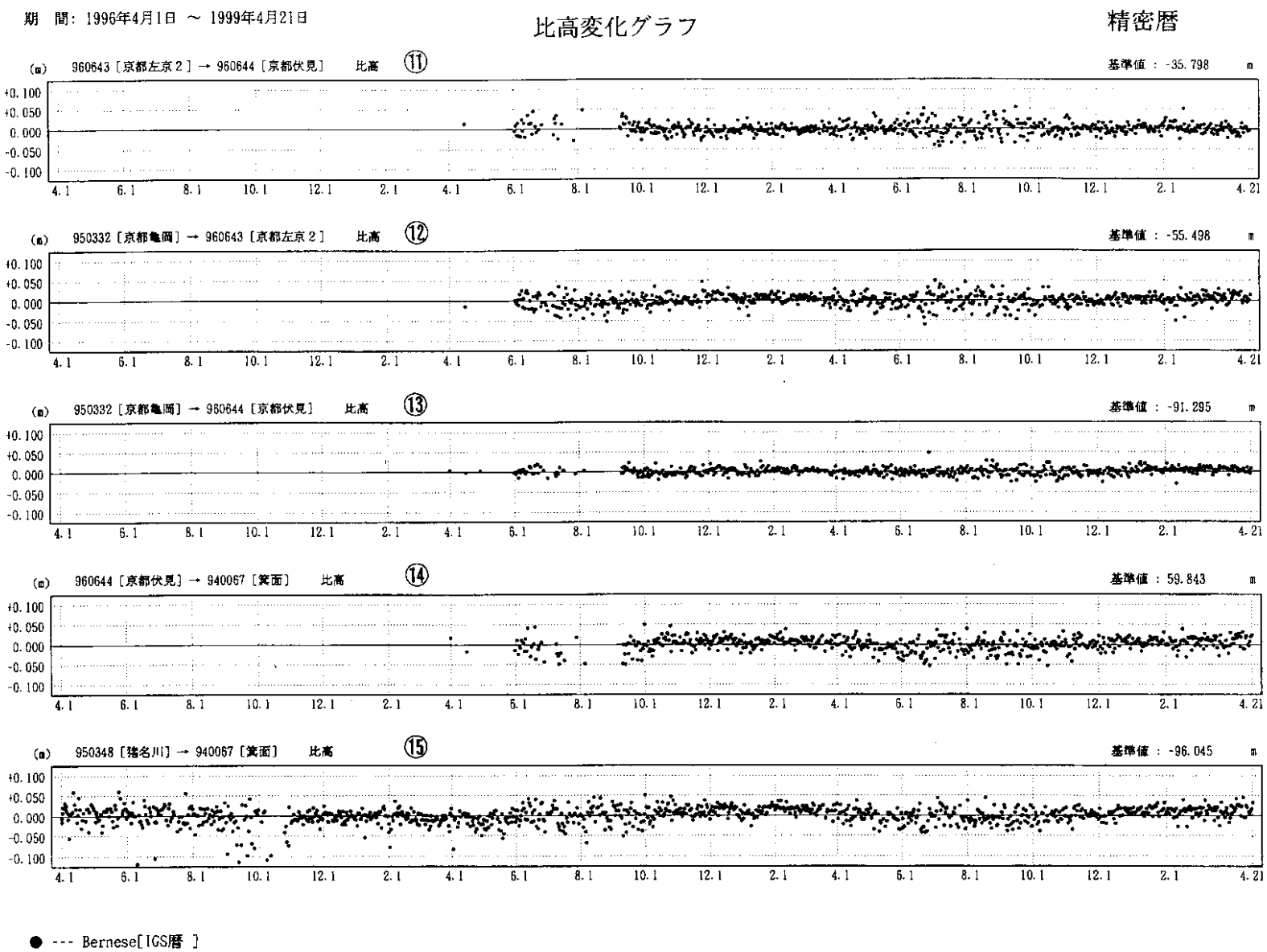

第３図(10)　近畿地方 GPS 連続観測結果(10)。

Fig.3(10)　Results of GPS measurements in the Kinki district (10).

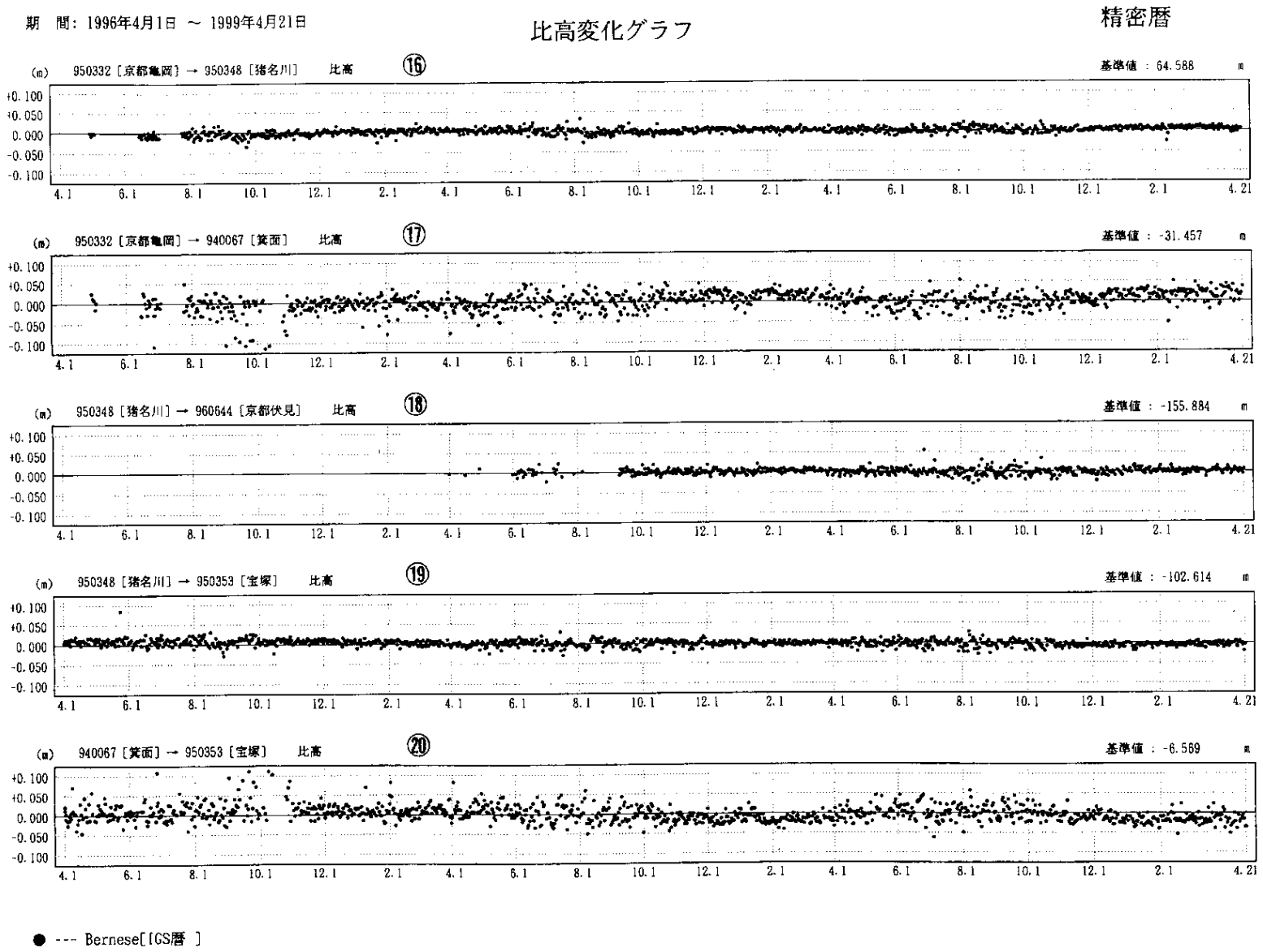

第３図(11)　近畿地方 GPS 連続観測結果(11)。

Fig.3(11)　Results of GPS measurements in the Kinki district (11).

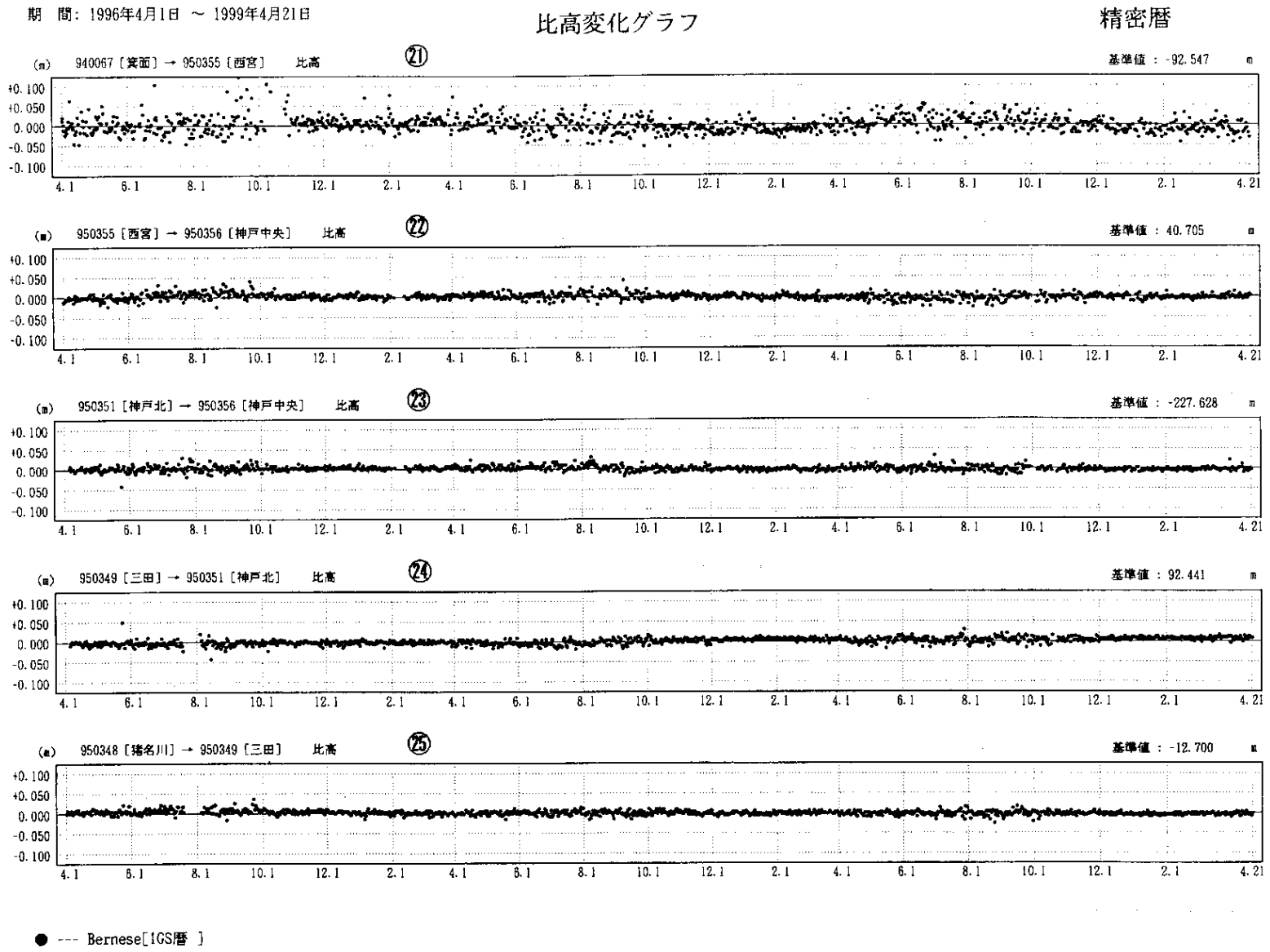

第３図(12)　近畿地方 GPS 連続観測結果(12)。

Fig.3(12)　Results of GPS measurements in the Kinki district (12).

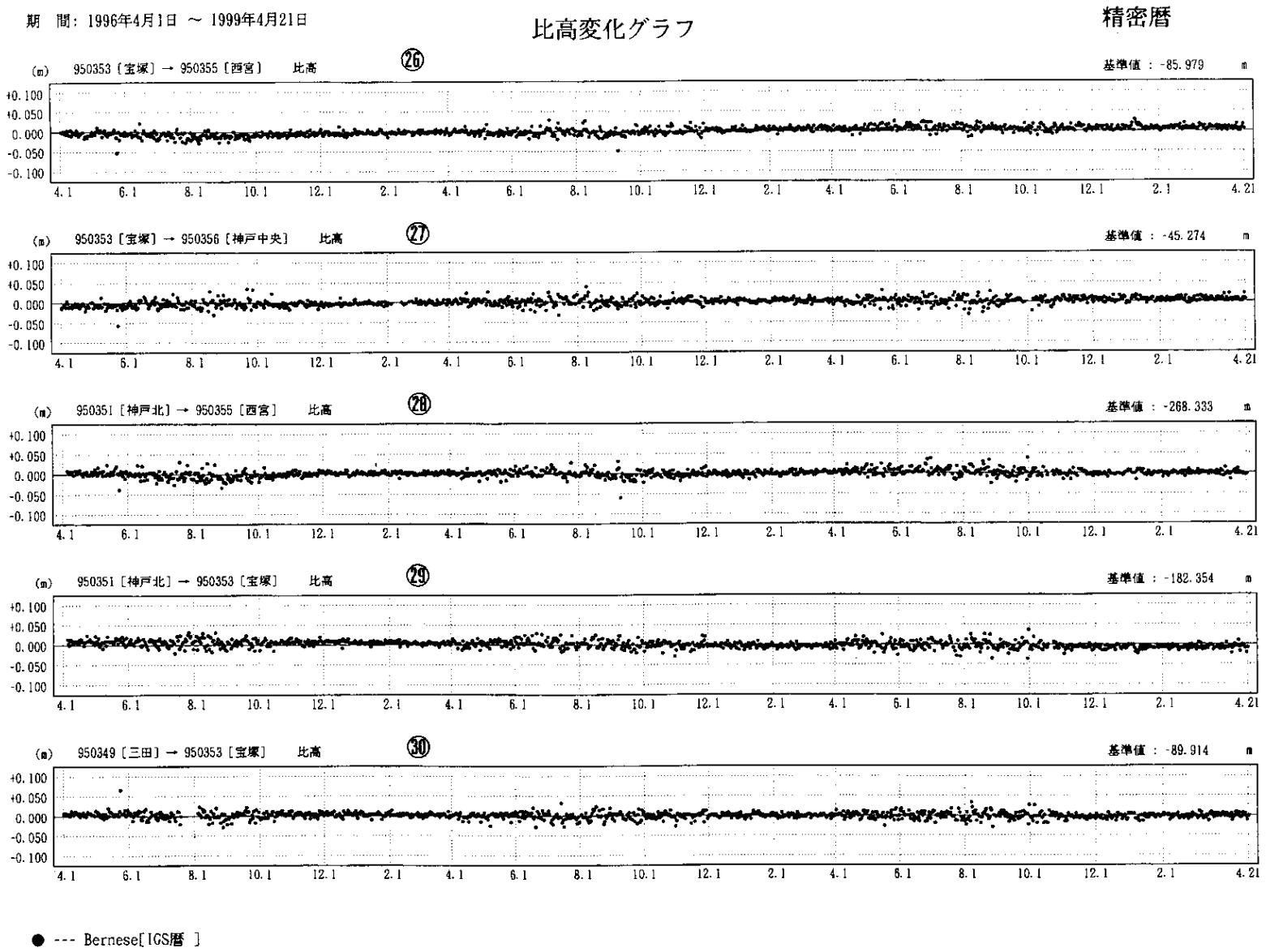

第３図(13)　近畿地方 GPS 連続観測結果(13)。

Fig.3(13)　Results of GPS measurements in the Kinki district (13).

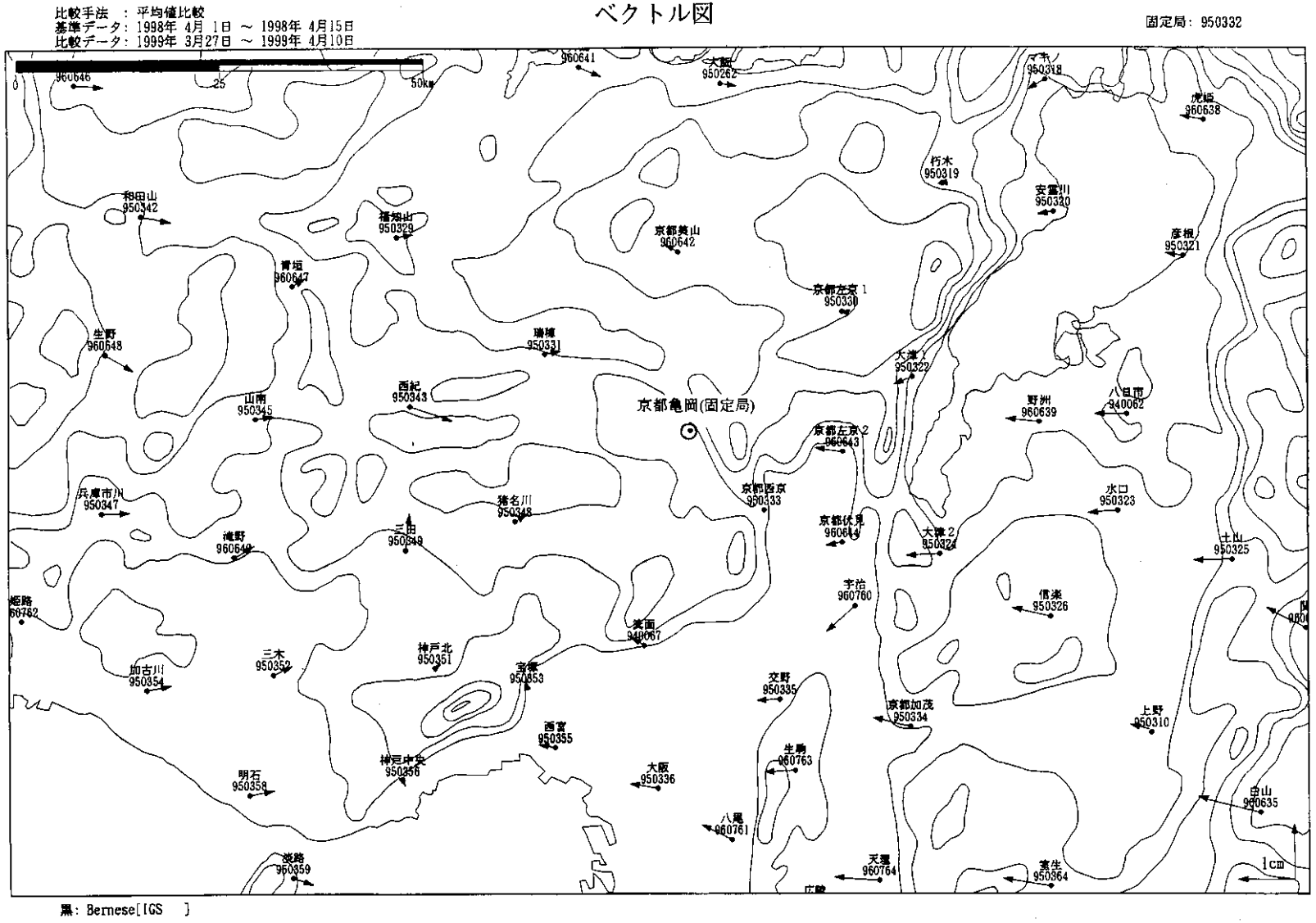

第４図　GPS 観測結果による近畿地方水平変動ベクトル図

Fig.4　Horizontal displacements in the Kinki district derived from continuous GPS measurements.